



---

## Моделирование распределения поля в магнитных системах электротехнических устройств с использованием нелинейных многополюсников

*А.Н. Ткачев, А.И. Кондратенко*

*Южный Российский государственный политехнический университет (НПИ)  
имени М.И. Платова, Новочеркасск*

**Аннотация:** Рассматривается задача моделирования распределения магнитного поля в магнитопроводах электротехнических устройств с целью оценки их характеристик в режимах эксплуатации. Проблема сводится к решению краевой задачи для уравнения эллиптического типа в ферромагнитной среде с нелинейными характеристиками. Для расчета предложено использовать блочные элементы в виде многоугольников произвольной конфигурации, которые рассматриваются как нелинейные многополюсники. Вебер-амперные характеристики многополюсников находятся в результате решения краевых задач для многоугольников, образующих блочные элементы. Краевые задачи решаются с использованием комплексного метода граничных элементов, что обеспечивает прямое нахождение уравнений связи между магнитными напряжениями и потоками многополюсников.

Нелинейность характеристик учитывается по найденному в результате расчета распределению поля на границе многополюсников путем корректировки магнитных проницаемостей блочных элементов, которая выполняется итерационно.

**Ключевые слова:** электротехническая система, магнитная цепь, краевая задача, блочный элемент, многополюсник, комплексный граничный элемент, матрица проводимостей.

Методы теории цепей широко используются для моделирования различных технических систем [1,2]. Так, схемы замещения магнитопроводов электротехнических устройств применяются для анализа распределения поля в их элементах [1,2], особенно на этапах проектирования или оптимизации, когда возникает необходимость выполнения многовариантных расчетов. При этом на точность расчетов существенное влияние оказывает выбранная топология схемы замещения и магнитные характеристики ее элементов, которые при насыщении электротехнической стали в реальных режимах эксплуатации описываются нелинейными зависимостями.

Сложившиеся подходы к построению схем замещения не являются формализованными, в основном основываются на эвристических

допущениях о характере пространственного распределения поля в магнитных системах. Это не только ограничивает возможности применения магнитных цепей для моделирования распределения поля в магнитопроводах электротехнических систем, но и делает проблематичным такое приближение в тех случаях, когда локальное перемагничивание стали носит пространственный характер.

Ниже описан формализованный подход к построению схем замещения магнитопроводов электротехнических устройств с помощью нелинейных многополюсников, которые могут быть использованы для приближенного анализа распределения магнитного поля при любых режимах локального перемагничивания.

Рассмотрим следующую типовую задачу, к решению которой сводится расчет поля в магнитных системах. Пусть область  $G$  на плоскости с границей  $L$  (рис.1) заполнена ферромагнитной средой с нелинейными характеристиками, которые задаются магнитной проницаемостью  $\mu(H)$ . При этом  $\bar{B} = \mu(H)\bar{H}$ , где  $\bar{B}$ ,  $\bar{H}$  - индукция и напряженность магнитного поля соответственно.

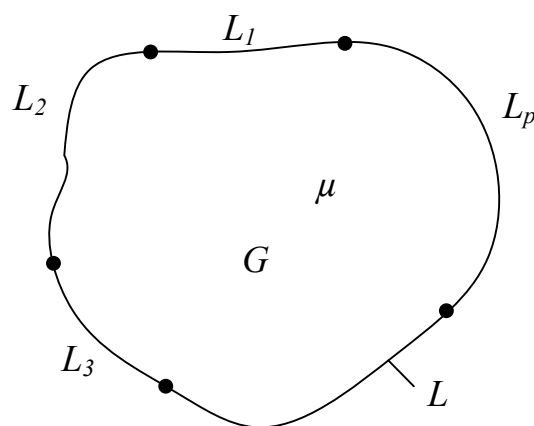


Рис. 1. – Расчетная область

Тогда магнитное поле в области  $G$  описывается системой уравнений

$$\operatorname{rot}\bar{H} = 0 ; \operatorname{div}\bar{B} = 0 ; \bar{B} = \mu\bar{H} . \quad (1)$$



Будем считать, что на участках  $L_i$ ,  $i = \overline{1, p}$ , границы  $L$  области  $G$  известна либо касательная составляющая напряженности магнитного поля  $H_\tau$ , либо нормальная составляющая индукции  $B_n$ :

$$H_\tau|_{L_i} = H_\tau^0|_{L_i}; \quad i = \overline{1, p}; \quad (2)$$

$$B_n|_{L_i} = B_n^0|_{L_i}; \quad i = \overline{1, p}, \quad (3)$$

где  $H_\tau^0$ ,  $B_n^0$  - известные на участках  $L_i$  границы  $L$  функции. В дополнение к граничным условиям (2), (3) будем считать заданными магнитные потоки через участки границы  $L_i$ , на которой задана напряженность поля:

$$\int_{L_i} B_n dl = \Phi_i^0, \quad (4)$$

где  $\Phi_i^0$  - известные значения магнитного потока через соответствующие участки границы  $L_i$ .

Заметим, что на границе  $L$  области выполняются следующие соотношения:

$$\oint_L \bar{B} d\bar{l} = 0;$$

$$\oint_L \bar{H} d\bar{l} = 0.$$

Поэтому условия (2), (3) и последние равенства должны быть согласованы.

Для моделирования распределения поля в области  $G$  будем использовать блочные элементы [8,9], которые строятся с использованием двух допущений, характерных для расчета поля в нелинейных средах. Блочным элементом в дальнейшем будем называть любой многоугольник, расположенный в области  $G$ , в пределах которого поле меняется так, что магнитную проницаемость в его отдельных точках можно считать



постоянной. Заметим, что такая линеаризация является стандартным приемом при численных расчетах физических полей в нелинейных средах.

С учетом уравнений (1) при принятом допущении, магнитное поле в каждом многоугольном элементе разбиения  $\Omega_k$  с границей  $\Gamma_k$  описывается системой уравнений:

$$\operatorname{rot} \bar{H} = 0 ; \operatorname{div} \bar{B} = 0 ; \bar{B} = \mu_k \bar{H}; \mu_k = \text{const} . \quad (5)$$

При этом на общих участках  $\Gamma_{rs}$  границ элементов  $\Omega_r, \Omega_s$  должны выполняться условия сопряжения

$$H_{\tau}^{(r)} \Big|_{\Gamma_{rs}} = H_{\tau}^{(s)} \Big|_{\Gamma_{rs}} ; B_n^{(r)} \Big|_{\Gamma_{rs}} = B_n^{(s)} \Big|_{\Gamma_{rs}} , \quad (6)$$

где в левой и правой частях приводятся предельные значения касательной составляющей напряженности и нормальной компоненты индукции со стороны элементов  $\Omega_r, \Omega_s$  соответственно.

С учетом уравнений (5) поле  $\bar{H}$  в каждом элементе разбиения  $\Omega_k$  можно описать с помощью двух потенциалов  $u(x, y)$  или  $v(x, y)$ , равных:

$$\bar{H} = \operatorname{grad} u ; \bar{H} = \operatorname{rot} (v \bar{e}_z) .$$

При этом оба потенциала в области  $\Omega_r$  являются гармоническими функциями и на общих участках границы  $\Gamma_{rs}$  удовлетворяют условиям

$$u^{(r)} \Big|_{\Gamma_{rs}} = u^{(s)} \Big|_{\Gamma_{rs}} ; \mu_r \frac{\partial u^{(r)}}{\partial n} \Big|_{\Gamma_{rs}} = \mu_s \frac{\partial u^{(s)}}{\partial n} \Big|_{\Gamma_{rs}} ; \quad (7)$$

$$\mu_r v^{(r)} \Big|_{\Gamma_{rs}} = \mu_s v^{(s)} \Big|_{\Gamma_{rs}} ; \frac{\partial v^{(r)}}{\partial n} \Big|_{\Gamma_{rs}} = \frac{\partial v^{(s)}}{\partial n} \Big|_{\Gamma_{rs}} . \quad (8)$$

Каждому блочному элементу  $\Omega (\Omega \in \{\Omega_1, \Omega_2, \dots\})$  с границей  $\Gamma (\Gamma \in \{\Gamma_1, \Gamma_2, \dots\})$  поставим в соответствие многополюсник так, как это показано на рис. 2.

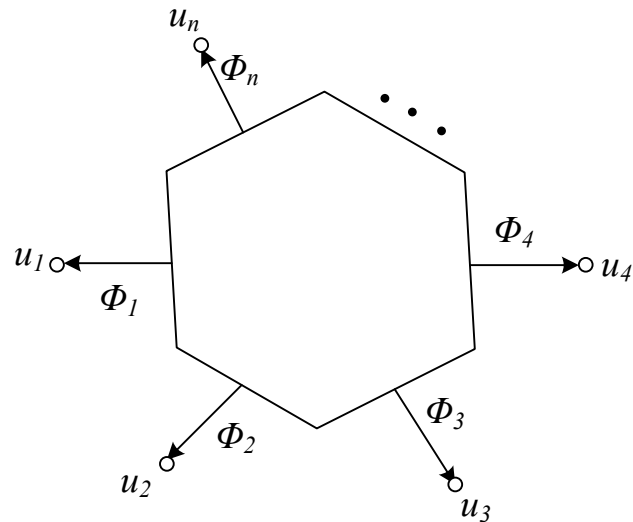


Рис.2. – Блочный элемент, совмещенный с многополюсником

Опишем алгоритм нахождения матриц проводимостей  $Y$  и сопротивлений  $Z$ , связывающих магнитные потоки  $\Phi_i$  поля  $B = \hat{\mu} \bar{H}$  ( $\hat{\mu} = \mu_k, k = 1, 2, \dots$ ) через сечения, совпадающие с ребрами  $\Gamma_{rs}$ , с магнитными потенциалами  $u_j$ , определяемыми через поле  $\bar{H}$ . Уравнения связи зададим равенствами:

$$\bar{\Phi} = \bar{Y} \bar{u}; \quad \bar{u} = Z \bar{\Phi}; \tag{9}$$

$$\bar{\Phi} = (\Phi_1, \Phi_2, \dots, \Phi_n); \quad \bar{u} = (u_1, u_2, \dots, u_n).$$

Заметим, что введенные магнитные потенциалы  $u, v$  являются сопряженными функциями. Поэтому их можно рассматривать как действительную и мнимую части некоторой аналитической в области  $\Omega$  функции комплексного переменного:

$$\omega(z) = u(z) + iv(z). \tag{10}$$

При этом гармоническая функция  $u(x,y)$ , определена с точностью до постоянного слагаемого, а все функции  $v(x,y)$ , сопряженные с функцией  $u(x,y)$ , также могут отличаться только на постоянную [9,10]. Обеспечивая



единственность решения, достаточно положить в каких-либо двух точках  $M, N \in \Gamma$ :

$$u(M) = 0, v(N) = 0. \quad (11)$$

Для аналитической однозначной функции  $\omega(z)$  (10) в односвязной области  $\Omega$  справедлива интегральная формула Коши [10]:

$$\omega(z) = \frac{1}{2\pi i} \oint_{\Gamma} \frac{\omega(\xi)}{\xi - z} d\xi, \quad (12)$$

где направление обхода контура  $\Gamma$  выбрано таким образом, что при обходе контура область  $\Omega$  остается слева.

Введем в комплексной плоскости  $z$ , систему узлов  $\{z_j\}_{j=1}^n$ , где  $n$  - число узлов на контуре  $\Gamma$ . Пронумеруем узлы последовательно, начиная с единицы в положительном направлении обхода контура  $\Gamma$ , при котором область  $\Omega$  остается слева. На контуре  $\Gamma$  определим  $n$  граничных элементов  $\Gamma_j$ , следующими соотношением [9]:

$$\Gamma = \bigcup_{j=1}^n \Gamma_j,$$

где  $\Gamma_j = \{z \in \Omega; z = (1-s)z_j + sz_{j+1}, 0 \leq s \leq 1\}$ ;  $\Gamma_{j-1} \cap \Gamma_j = z_j$ ;  $z_{n+1} = z_1$ , причем нумерация граничных элементов соответствует нумерации узлов.

Функцию  $\omega(z)$  на границе  $\Gamma$  аппроксимируем кусочно-линейной функцией вида

$$G(z) = \sum_{j=1}^n \omega_j e_j(z), \quad (13)$$

где  $\omega_j = \omega(z_j)$ , а базисная функция  $e_j(z)$ , соответствующая узлу  $z_j$ , определяется равенством



$$e_j(z) = \begin{cases} (z - z_{j-1}) / (z_j - z_{j-1}), & z \in \Gamma_{j-1}, \\ (z_{j+1} - z) / (z_{j+1} - z_j), & z \in \Gamma_j, \\ 0, & z \notin \Gamma_{j-1} \cup \Gamma_j. \end{cases} \quad (14)$$

Из выражения (14) следует, что функция  $G(z)$  на  $\Gamma$  является непрерывной и  $G(z_j) = u_j + iv_j$ , где  $u_j, v_j$  - значения магнитных потенциалов в узле  $z_j$ . Подставляя функцию (13) в интегральную формулу Коши (12), получим:

$$\hat{\omega}(z) = \frac{1}{2\pi i} \int_{\Gamma} \frac{G(\xi)}{\xi - z} d\xi, \quad (15)$$

где  $z$  - внутренняя точка области  $\Omega$  ( $z \notin \Gamma$ ). Функция  $\hat{\omega}(z)$  является аппроксимирующей для функции  $\omega(z)$  в области  $\Omega$  с погрешностью, обусловленной приближением функции  $\omega(z)$  кусочно-линейной функцией (13) на границе  $\Gamma$ . С учетом (13) выражение (15) для  $\hat{\omega}(z)$  можно записать следующим образом:

$$\hat{\omega}(z) = \frac{1}{2\pi i} \sum_{j=1}^n \int_{\Gamma_j} \frac{G(\zeta)}{\zeta - z} d\zeta, \quad z \notin \Gamma, \quad z \in \Omega. \quad (16)$$

На каждом элементе  $\Gamma_j$  функция  $G(z)$  задается равенством:

$$G(z) = \{e_j(z)u_j + e_{j+1}(z)u_{j+1}\} + i\{e_j(z)v_j + e_{j+1}(z)v_{j+1}\}, \quad z \in \Gamma_j. \quad (17)$$

Используя соотношения (17) и (14), найдем интеграл в равенстве (16) по каждому элементу  $\Gamma_j$ :

$$\int_{\Gamma_j} \frac{G(\zeta)}{\zeta - z} d\zeta = \int_{\Gamma_j} \frac{(z_{j+1} - \zeta)\omega_j + (\zeta - z_j)\omega_{j+1}}{(z_{j+1} - z_j)(\zeta - z)} d\zeta, \quad z \in \Omega, \quad z \notin \Gamma. \quad (18)$$

После вспомогательных преобразований, получим из формулы (18)

$$\int_{\Gamma_j} \frac{G(\zeta)}{\zeta - z} d\zeta = \frac{z_{j+1}\omega_j - z_j\omega_{j+1}}{z_{j+1} - z_j} \int_{\Gamma_j} \frac{d\zeta}{\zeta - z} + \frac{\omega_{j+1} - \omega_j}{z_{j+1} - z_j} \int_{\Gamma_j} \frac{\zeta d\zeta}{\zeta - z};$$

$$\int_{\Gamma_j} \frac{\zeta d\zeta}{\zeta - z} = \int_{\Gamma_j} \left( 1 + \frac{z}{\zeta - z} \right) d\zeta = z_{j+1} - z_j + z \int_{\Gamma_j} \frac{d\zeta}{\zeta - z};$$

$$\int_{\Gamma_j} \frac{d\zeta}{\zeta - z} = \ln(\zeta - z) \Big|_{z_j}^{z_{j+1}} = \ln \left| \frac{z_{j+1} - z}{z_j - z} \right| + i\theta(j+1, j),$$

где  $\theta(j+1, j)$  - угол между лучами, соединяющими узлы  $z_j$  и  $z_{j+1}$  с точкой  $z \in \Omega$  рис.3. Запишем интеграл (18) в виде:

$$\int_{\Gamma_j} \frac{G(\zeta)}{\zeta - z} d\zeta = \omega_{j+1} - \omega_j + \omega_{j+1} \frac{z - z_j}{z_{j+1} - z_j} h_j - \omega_j \frac{z - z_{j+1}}{z_{j+1} - z_j} h_{j+1},$$

$$h_j = \ln \left| \frac{z_{j+1} - z}{z_j - z} \right| + i\theta(j+1, j).$$

Подставив полученные выражения в формулу (16), получим

$$\hat{\omega}(z) = \frac{1}{2\pi i} \sum_{j=1}^n (\omega_{j+1} - \omega_j) + \frac{1}{2\pi i} \sum_{j=1}^n \frac{(z - z_j)\omega_{j+1} - (z - z_{j+1})\omega_j}{z_{j+1} - z_j} h_j, \quad (19)$$

где принято  $\omega_{n+1} = \omega_1$ ,  $z_{n+1} = z_1$ . Тогда первая сумма в равенстве (19) равна нулю и, поэтому

$$\hat{\omega}(z) = \frac{1}{2\pi i} \sum_{j=1}^n \frac{(z - z_j)\omega_{j+1} - (z - z_{j+1})\omega_j}{z_{j+1} - z_j} h_j. \quad (20)$$

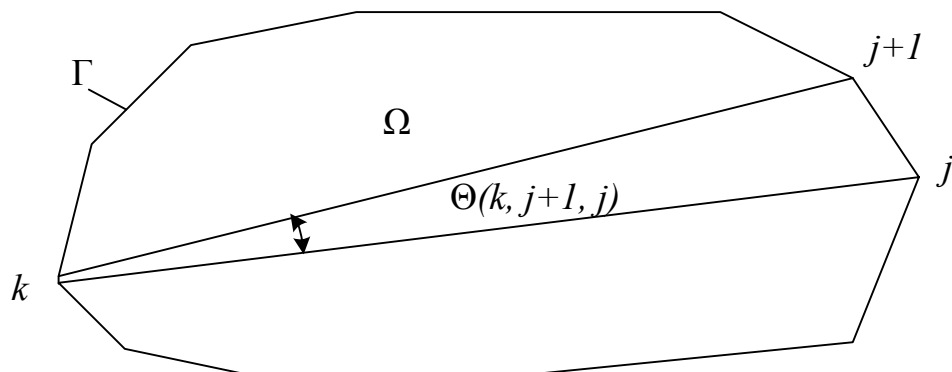


Рис.3. - К вычислению интеграла по контуру  $\Gamma$





Равенство (20) задает аппроксимирующую функцию (15) во внутренних точках области  $\Omega$  через узловые граничные значения комплексного потенциала  $\omega$ .

Для определения величин  $u_j, v_j$  поступим следующим образом. Внутреннюю точку  $z$  области  $\Omega$  устремим к узлу  $z_k, z \rightarrow z_k$ , тогда, переходя к пределу в левой и правой части равенства (20), получим:

$$\lim_{z \rightarrow z_k} \hat{\omega}(z) = \lim_{z \rightarrow z_k} \frac{1}{2\pi i} \sum_{j=1}^n \frac{(z - z_j)\omega_{j+1} - (z - z_{j+1})\omega_j}{z_{j+1} - z_j} \ln \left( \frac{z_{j+1} - z}{z_j - z} \right).$$

Находя предел в последнем выражении, имеем

$$\begin{aligned} \omega_k &= \frac{1}{2\pi i} \sum_{\substack{j=1 \\ j \neq k \\ j \neq k-1}}^n \frac{(z_k - z_j)\omega_{j+1} - (z_{j+1} - z_k)\omega_j}{z_{j+1} - z_j} \ln \left( \frac{z_{j+1} - z_k}{z_j - z_k} \right) + \\ &+ \frac{1}{2\pi i} \lim_{z \rightarrow z_k} \left\{ \frac{(z - z_{k-1})\omega_k - (z - z_k)\omega_{k-1}}{z_k - z_{k-1}} \ln \left( \frac{z_k - z}{z_{k-1} - z} \right) + \right. \\ &\left. + \frac{(z - z_k)\omega_{k+1} - (z - z_{k+1})\omega_k}{z_{k+1} - z_k} \ln \left( \frac{z_{k+1} - z}{z_k - z} \right) \right\}. \end{aligned}$$

Упростив выражение, стоящее в скобках последнего равенства, получим:

$$\begin{aligned} \omega_k &= \frac{1}{2\pi i} \sum_{j=1}^n \frac{(z_k - z_j)\omega_{j+1} - (z_k - z_{j+1})\omega_j}{z_{j+1} - z_j} \ln \left( \frac{z_{j+1} - z_k}{z_j - z_k} \right) + \\ &+ \omega_k \frac{1}{2\pi i} \ln \left( \frac{z_{k+1} - z_k}{z_{k-1} - z_k} \right), \quad k = \overline{1, n}. \end{aligned} \quad (21)$$

Уравнения (21) после разделения в них действительной и мнимой части можно записать в виде:



$$\begin{aligned} \sum_{j=1}^n (\alpha_{kj} u_j - \beta_{kj} v_j) &= 0; \\ \sum_{j=1}^n (\beta_{kj} u_j + \alpha_{kj} v_j) &= 0. \end{aligned} \tag{22}$$

При этом систему (22) необходимо дополнить уравнениями (11).

Для определения матрицы проводимостей  $Y$  (9) будем находить решение системы (22) при значениях потенциалов узлов равных

$$\bar{u} = \bar{U}_k = \left( \underbrace{0, \dots, 0}_k, 1, 0, \dots, 0 \right), \quad k = 1, 2, \dots, n. \quad \text{Отметим, что система уравнений (22)}$$

имеет число уравнений, в два раза превышающее число неизвестных. Поэтому для решения этой системы используется метод наименьших квадратов.

По найденным узловым значениям потенциала  $v$  находятся потоки через ребра многоугольника. Так, если к ребру с потоком  $\Phi_k$  примыкают вершины (узлы) с потенциалами  $v_i, v_{i+1}$ , то поток через него равен  $\Phi_k = v_{i+1} - v_i$ . В результате расчетов при каждом заданном распределении потенциалов узлов  $\bar{u} = \bar{U}_k$  определяется  $k$ -й столбец матрицы  $Y$  и далее сама матрица. Матрица  $Z$  находятся аналогично.

После определения уравнений связи многополюсников (9), соответствующих блочным элементам разбиения, выполняется анализ распределения потоков в магнитных системах исследуемых устройств. При этом условия на границе расчетной области для нормальной составляющей индукции позволяют задать часть потоков через участки блочных элементов, примыкающие к границе. Учет граничного условия относительно касательной составляющей напряженности обеспечивается соответствующим заданием разности магнитных потенциалов для узлов многополюсника, совмещенных с границей. Выполнение условия непрерывности поля на



общих участках границы соседних блочных элементов обеспечивается в слабой форме путем приравнивания потенциалов общих узлов и потоков магнитной индукции через общие участки границы, вычисленных в примыкающих областях разбиения с разными магнитными проницаемостями.

Нелинейность характеристик учитывается за счет того, что проницаемости в областях разбиения уточняются итерационно по значениям напряженности, получаемым в результате расчета. Для этого используется ее среднее значение напряженности на границе каждого элемента разбиения, которое приближенно может быть оценено по найденному распределению потенциалов и потоков в многополюсниках. Отметим, что матрицы многополюсников находятся однократно и корректировке не подлежат.

### Литература

1. Носков В.Н., Пустоветов М.Ю. Компьютерное моделирование режима холостого хода электромеханического расщепителя фаз на базе трехфазного асинхронного электродвигателя// Инженерный вестник Дона, 2016, №2 URL: ivdon.ru/ru/magazine/archive/n2y2016/3633/.

2. Пивнев В.В., Басан С.Н. Математическое моделирование нелинейных характеристик элементов применительно к задаче реализации двухполюсников с заданными нелинейными зависимостями// Инженерный вестник Дона, 2016, №4 URL: ivdon.ru/ru/magazine/archive/n4y2016/3857/.

3. Нго Фьонг Ле, Гульков Г.И. Эквивалентная схема магнитной цепи синхронного двигателя с инкорпорированными магнитами. Энергетика, 2015, №4. с. 13-24.

4. Miller T.J.E. Brushless Permanent-Magnet and Reluctance Motor Drives. Oxford: Clarendon Press, 1989. pp. - 207.



5. Булыжев Е.М., Меньшов Е. Н., Джавахия Г.А. Оптимизация магнитного сепаратора. – Известия Самарского центра РАН, т.13, №4, 2015. с. 111-116.

6. Носов Г.В., Лусс А.А. Расчет внешнего магнитного поля рельслитронов. Фундаментальные исследования. 2013. №10. с. 3363-3367.

7. Буль О.Б. Методы расчета магнитных систем электрических аппаратов: Магнитные цепи, поля и программа FEMM. М.: Издательский центр «Академия», 2005. 336 с.

8. Ткачев А.Н., Клименко В.В. Метод сопряженных потенциалов для расчета двумерных электрических и магнитных полей: монография. Юж.-Рос. гос. техн. ун-т. Новочеркасск: ЮРГПУ (НПИ), 2012. 172 с.

9. Tkachev A., Pashkovskiy A., Burtceva O. Application of block elements method for a calculation of the magnetic field and force characteristics in electromechanical systems. Vol. 129: International Conference on Industrial Engineering (ICIE 2015). Procedia Engineering. 2015. pp. 288-293.

10. T. Hromadko, C. Lai, The Complex Variable Boundary Element Method in Engineering Analysis, Springer Verlag New York Inc, 1987. pp. 303.

### References

1. Noskov V.N., Pustovetov M.Ju. Inzhenernyj vestnik Dona (Rus), 2016, №2 URL: [ivdon.ru/ru/magazine/archive/n2y2016/3633/](http://ivdon.ru/ru/magazine/archive/n2y2016/3633/).

2. Pivnev V.V., Basan S.N. Inzhenernyj vestnik Dona (Rus), 2016, №4 URL: [ivdon.ru/ru/magazine/archive/n4y2016/3857/](http://ivdon.ru/ru/magazine/archive/n4y2016/3857/).

3. Ngo Fyong Le, Gul'kov G.I. Jenergetika, 2015, №4. pp. 13-24.

4. Miller T.J.E. Brushless Permonent-Magnet and Relactance Motor Drives. Oxford: Clarendon Press, 1989. pp. 207.

5. Bulyzhev E.M., Men'shov E. N., Dzhavahija G.A. Izvestija Samarskogo centra RAN, t.13, №4, 2015. pp. 111-116.



6. Nosov G.V., Luss A.A. Fundamental'nye issledovaniya. 2013. №10. pp. 3363-3367.
7. Bul' O.B. Metody rascheta magnitnyh sistem jelektricheskikh apparatov: Magnitnye cepi, polja i programma FEMM [Methods for calculating the magnetic systems of electrical apparatus: Magnetic circuits, fields and the program FEMM]. – M.: Izdatel'skij centr «Akademija», 2005. 336 p.
8. Tkachev A.N., Klimenko V.V. Metod soprjzhennyh potencialov dlja rascheta dvuhmernyh jelektricheskikh i magnitnyh polej: monografija [The method of conjugate potentials for the calculation of two-dimensional electric and magnetic fields: monograph]. Juzh.-Ros. gos. tehn. un-t. Novocherkassk: JuRGPU (NPI), 2012. 172 p.
9. Tkachev A., Pashkovskiy A., Burtceva O. Application of block elements method for a calculation of the magnetic field and force characteristics in electromechanical systems. Vol. 129: International Conference on Industrial Engineering (ICIE 2015). Procedia Engineering. 2015. pp. 288-293.
10. T. Hromadko, C. Lai, The Complex Variable Boundary Element Method in Engineering Analysis, Springer Vergas New York Inc, 1987. pp. 303.